

KAJIAN HUBUNGAN ANTARA DISTRIBUSI GEMPA SUSULAN ACEH 26 DESEMBER 2004 TERHADAP DISTRIBUSI PERUBAHAN TEKANAN COULOMB (COULOMB STRESS CHANGE)

Sabar Ardiansyah

ABSTRACT

During the last few years, scientists have been focusing on studying the interaction between the aftershocks distribution and the change of coulomb stress, as well as the interaction between one major earthquake and other earthquake events, which were closely located. The aim of this paper is to examine the distribution of aftershocks of Aceh earthquake on December 2005 from the changes of coulomb stress pattern. The main earthquake data, along with rupture parameters, were treated as the inputs for analyzing the coulomb stress change, with the help from a software package, Coulomb v3.3. The results showed that 49.8% of the aftershocks of the Aceh earthquake on 26 December 2004 is distributed on the areas where positive coulomb stress change were calculated, whereas the rest is located on the negative change.

Keywords: Aceh earthquake, coulomb stress change, aftershocks.

PENDAHULUAN

Beberapa tahun belakangan, banyak peneliti mempelajari atau memfokuskan penelitian terhadap peranan static coulomb stress change (ΔCFS) untuk mempelajari hubungan antara gempa utama terhadap distribusi gempa susulan serta interaksi antara gempa besar yang satu dengan gempa lain disekitarnya (Harris et al., 1998; Stein et al., 1999; King et al., 2001; Freed et al., 2005; Toda et al., 2005; Shi et al., 2010). King et al. (1994) menghitung ΔCFS yang disebabkan oleh gempabumi Landers tahun 1992 (Mw = 7,3) pada bidang patahan optimum dan patahan sekitarnya. Mereka menemukan bahwa sebaran distribusi gempabumi susulan pada area peningkatan stress yang menunjukan aktivitas zona reduksi. Penelitian lain pada gempabumi Selatan California yang dimodelkan oleh Deng et al. (1997) untuk enam gempa bumi dengan kekuatan 7.0 < M > 7.5 sampai gempabumi dengan kekuatan M ≥ 7.5 rentang tahun 1812 – 1995. Sekitar 95% lokasi gempabumi untuk kekuatan M ≥ 6.7 konsisten terletak pada area peningkatan coulomb stress change yang ditandai dengan nilai ∆CFS positif. Sedangkan gempabumi berkekuatan M ≥ 5.0 sekitar 85% terletak pada area peningkatan coulomb stress change. Wan et al. (2000) mengeksplorasi masalah kompleks antara beberapa event yang saling memicu sejak tahun 1920 di area timur laut Qianghai-Tibeteau berdasarkan formula Okada. Hasilnya menunjukkan bahwa gempabumi Hoh Xil tahun 2001 merupakan hasil dari perubahan ∆CFS yang disebabkan oleh gempa bumi sebelumnya yaitu gempa Huashixia tahun 1937, gempa Dulan 1963, dan gempa Mani tahun 1973 dan 1997.

Serta masih banyak penelitian para ahli lain untuk melihat hubungan antara *coulomb stress change* baik terhadap distribusi gempabumi susulan maupun interaksi antara gempabumi yang satu dengan gempabumi yang lain. Melalui tulisan ini, penulis mencoba menganalisis hubungan antara pola *coulomb stress change* yang disebabkan oleh gempabumi dahsyat pada tanggal 26 Desember 2006 di Aceh terhadap distribusi gempa susulannya.

METODOLOGI

Data Penelitian

Data yang dipakai pada penulisan paper ini menggunkan data katalog USGS yang diambil dari website USGS (http://usgs.gov/). Data input untuk perubahan Coulomb Stress Shange



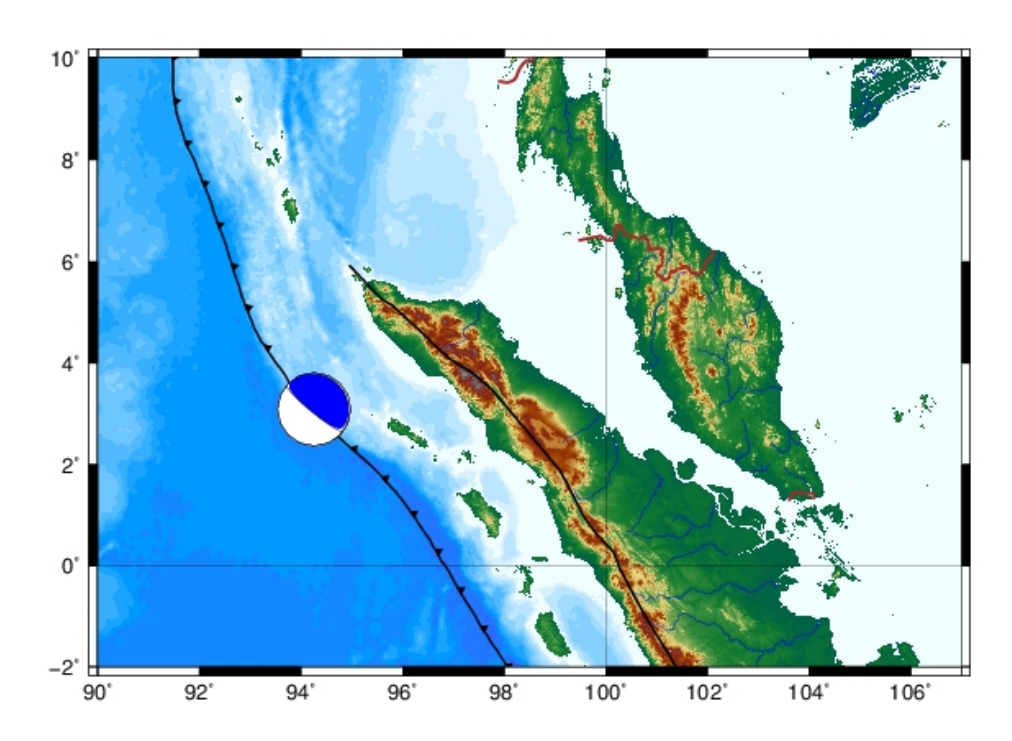
digunakan mekanisme sumber/parameter sesar dari data gempabumi pada tanggal 26 Desember 2004 berkuatan 9,1 Mw pukul 00:58:53 UTC.

Tabel 1. Data gempa tanggal 26 Desember 2004 (sumber: USGS).

No	Tanggal	OT (UTC)	Lat	Long	Depth (km)	Magnitudo (Mw)
1	26-12-2004	00:58:53	3.09°LU	94.26 °BT	28.6	9.1

Tabel 2. Mekanisme sumber gempa tanggal 26 Desember 2004 (sumber: USGS).

NO	Tanggal	Nodal 1			Nodal 2		
NO		Strike	Dip	Rake	Strike	Dip	Rake
1	26-12-2004	329°	8°	110°	129°	83°	87°



Gambar 1. Plot focal mekanisme gempabumi Aceh 26 Desember 2004.

Konsep Kriteria Pembebanan Coulomb Stress

Meskipun informasi geometri mengenai gempabumi dan patahan dapat dipecahkan oleh para ahli seismologi, geodesi, dan data geologi, gambaran lengkap mengenai mekanika gempabumi tetap sulit dipahami. Kalkulasi perubahan stress statik oleh gempabumi utama yang mempengaruhi gempabumi berikutnya disajikan pada awal tahun 1970-an, tetapi tidak diadopsi oleh komunitas ilmiah dalam kajian bahaya gempabumi (assessment seismic hazard). Perubahan sekitar 0,1 Mpa (1 bar) yang hanya sebagian kecil dari penurunan stress selama gempabumi dianggap tidak signifikan, sedangkan hasil pada saat itu didominasi oleh hasil secara kualitatif. Dalam dua dekade terakhir, banyak penelitian yang dilakukan untuk mempelajari tegangan statik. Model yang banyak digunakan untuk menjelaskan interaksi patahan adalah perubahan tegangan Coulomb (Coulomb stress change).



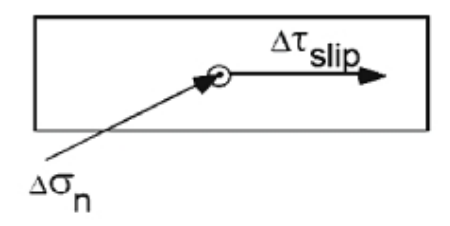
Ketika patahan menghasilkan gempabumi, patahan ini akan mendorong perubahan stress pada patahan di sekitarnya atau patahan di dekatnya. Untuk memperkirakan perubahan ini, vang disebut Coulomb stress, digunakan kalkulasi menggunakan model elastik setengah ruang (elastic half space) pada bidang persegi yang diasumsikan homogeny isotropi (Okada et al., 1992).

Dengan mengasumsikan model friksi coulomb sederhana (simple coulomb friction model) untuk gempabumi, slip potensial akan meningkat atau menurun pada coulomb failure stress, (Okada et al., 1992), yang didefinisikan sebagai :

$$\sigma f = \tau - \mu(\sigma n + P) \tag{1}$$

Di mana σf adalah Coulomb failure, τ adalah shear stress, σn adalah normal stress, P adalah tekanan pori (pore fliud pressure) dan μ adalah koefisien friksi. Slip potensial mengarah ke kanan atau ke kiri. Nilai dari σf dalam hal ini harus selalu positif, namun sebaliknya proses yang berlangsung dalam mencari nilai stress ke patahan dapat diberikan nilai positif maupun negatif bergantung pada slip potensial mengarah ke kanan atau ke kiri. Untuk koefesien friksi yang konstan, maka persamaan (1) dapat ditulis :

$$\Delta \sigma f = \Delta \tau - \mu (\Delta \sigma n + \Delta P) \tag{2}$$



Nilai P merubah normal stress efektif sepanjang bidang patahan seperti ditunjuk persamaan (1). Ketika stress batuan berubah dengan cepat selanjutnya P berubah dalam aliran jalar. Nilai P dapat dihubungkan dengan koefisien Skemptons B, dimana nilainya bervariasi antara 0 dan 1. Koefisien friksi efektif dalam penelitian stress koseismik bervariasi antara 0,01 hingga 0,75, dengan nilai rata-rata $\mu = 0.4$. Persamaan (1) selanjutnya dapat ditulis dengan asumsi bahwa of mewakili batasan stress seperti normal stress pada bidang. Δof diselesaikan pada bidang patahan pertama dan dalam arah slip pada bidang patahan kedua atau patahan penerima (receiver fault).

$$\Delta \sigma f = \Delta \tau - \mu' \Delta \sigma n$$
 (3)

Di mana koefisien friksi efektif dinyatakan dengan $\mu' = \mu(1 - B)$. Selanjutnya jika $\Delta \sigma f > 0$ potensial slip akan meningkat dan jika Δσf < 0 potensial slip akan berkurang. Kalkulasi Δσf yang disebabkan oleh gempabumi bergantung kepada geometri dan distribusi slip, magnitudo, orientasi stress regional serta nilai dari asumsi koefisien friksi. Rasio dari amplitudo stress regional terhadap stress drop gempabumi hanya berdampak signifikan di dekat patahan, di mana ketidakpastian ∆of dalam beberapa kejadian selalu didominasi oleh ketidakpastian distribusi slip.

ΔCFS (Coulomb Failure Stress) didefinisikan sebagai bidang failure spesifik atau sering disebut sebagai receiver fault, yang menyebabkan terjadinya gempabumi saat Δσf > 0. Meskipun perubahan ΔCFS menyebabkan gempa lebih kecil daripada akumulasi stress, banyak aktivitas seismik menunjukan dengan kenaikan nilai coulomb stress lebih dari 0.01 MPa sudah cukup untuk membangkitkan satu kejadian (Harris, 1998; Ziv et al., 2000). Selama penyelidikan interaksi gempabumi yang memicu, bisa kita definisikan orientasi bidang patahan optimal dengan nilai perubahan stress yang lebih besar daripada orientasi patahan pada tempat yang sama jika mekanisme fokal gempabumi susulan belum diketahui.



Ini bisa menjelaskan distribusi gempabumi susulan dan perkiraan spasial sebuah event gempabumi dimasa yang akan dating (King et al., 1994; Stein et al., 1983).

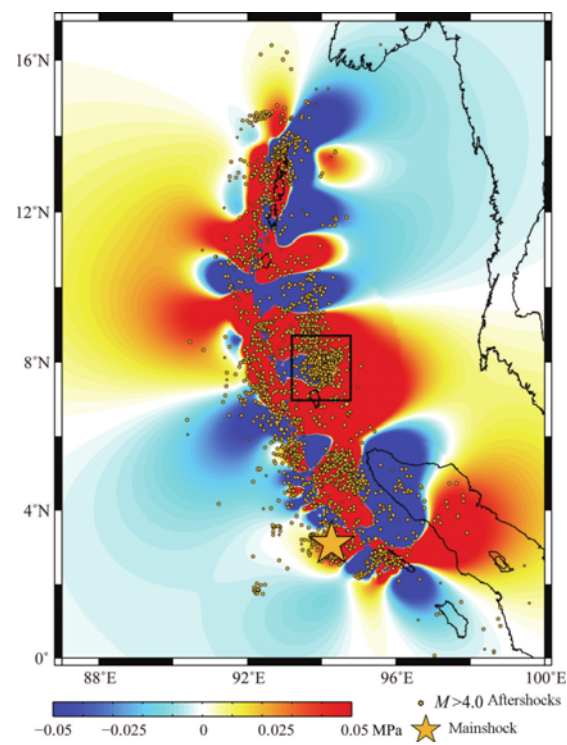
Pada prinsipnya jika $\Delta CFS > 1$ (bernilai positif), artinya patahan pertama dapat mendorong patahan kedua mengalami peningkatan stress, peluang terjadi *failure* pada patahan kedua lebih besar, sedangkan jika $\Delta CFS < 1$ (bernilai negatif), patahan pertama mendorong patahan kedua mengalami relaksasi peluang terjadinya failure semakin kecil, daerah ini disebut daerah *stress shadow.*

HASIL DAN PEMBAHASAN

Gempabumi dahsyat Aceh 26 Desember 2004 berkekuatan Mw = 9.1 terjadi pada pukul 00:58:53 UTC. Gempabumi berpusat pada koordinat 3.09 LU 94.26 BT dengan kedalaman 28.6 km. Gempa ini memiliki solusi bidang sesar dengan *strike* atau arah jurus 329°, *dip* atau kemiringan sesar 8°, serta *rake* atau arah slip 110°. Gempabumi ini merupakan gempabumi terbesar dalam kurun waktu 40 tahun terakhir. Dengan panjang *rupture* mencapai 1200 km.

Pemodelan *dislokasi* yang dipakai berdasarkan publikasi yang pernah dimodelkan oleh Chich *et al.* (2007) yaitu merupakan pemodelan cukup kompleks. Pada perhitungan pemodelan ini slip maksimum mencapai 17 m di sekitar hiposenter dengan tiga sub patahan dengan *strike* masing-masing 5°, 342°, 315° dan *dip* masing-masing sub patahan 17°, 15°, 12°. Ketiga sub patahan ini membujur dari utara ke selatan pada zona patahan palung Andaman. Total slip mencapai 695 yang terdistribusi secara spasial yang tidak simetri serta *rupture* mencapai kedamalam 52.6 km.

Pada perhitungan nilai coulomb stress, asumsi yang dipakai berdasarkan metode elastic setengah ruang (elastic half-space), Stein et al. (1994) Poisson's ratio 0.25, koefesien friksi efektif 0.4, dan modulus geser 3.3×10^4 MPa. Plotting distribusi gempabumi untuk gempa magnitudo M > 4.0 diambil dari website USGS.



Gambar 2. Coulomb stress change gempa Aceh 26 Desember 2004 dan distribusi gempa susulannya, Miao et al. (2012).

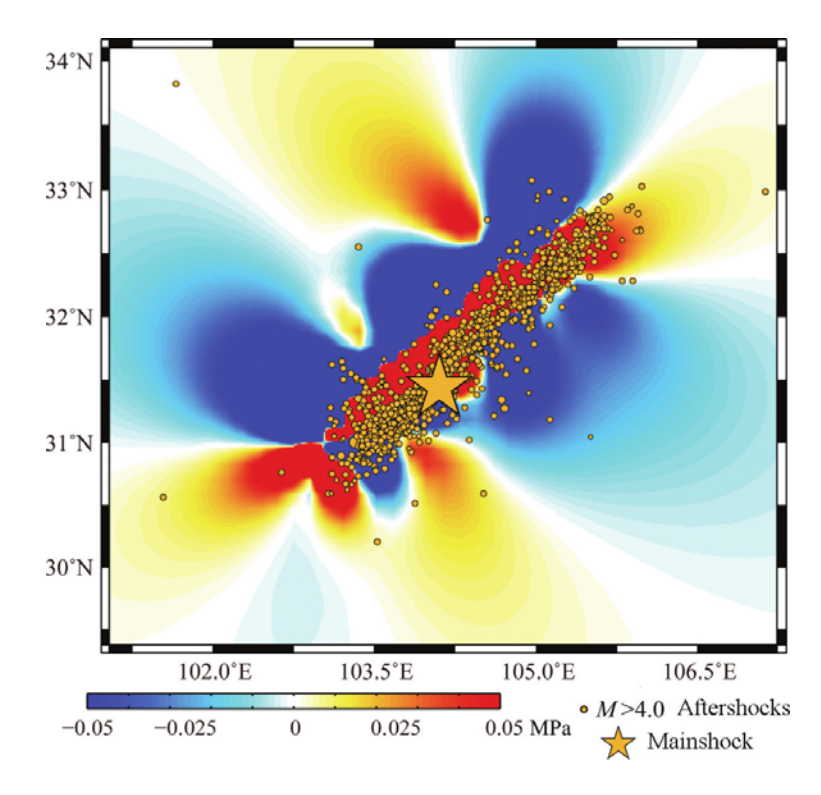


Distribusi *Coulomb stress* dapat dilihat pada Gambar 2, secara umum terdistribusi membujur sepanjang arah baratlaut-tenggara mengikuti zona bidang patahan. Pada segmen bagian selatan patahan, dengan nilai Δ CFS berkisar 0.03 MPa, meskipun selama empat tahun terdapat lebih dari lima gempa besar (M > 7.0) setelah gempa utama, namun tiga diantara gempa M > 7.0 tersebut berada pada wilayah penurunan nilai Δ CFS atau wilayah nilai negatif. Ini menunjukkan bahwa pemodelan elastik setengah ruang tidak terlalu bagus untuk menggambarkan efek picuan sebuah event *(triggering effect)*.

Distribusi gempa susulan sepanjang bidang patahan pada palung Andaman (lihat kotak hitam pada Gambar 2), pada wilayah ini lebih dari 70% *aftershocks* berada pada kedalaman 30 km.

Gambar 2 memperlihatkan hubungan antara distribusi gempa susulan terhadap spasial nilai Δ CFS. Sekitar 49.8% gempa susulan terdistribusi pada area Δ CFS dengan nilai positif atau wilayah peningkatan stress, dengan 46% nya berada pada zona sumber bidang *failure*. Sedangkan pada area penurunan nilai stress yang ditunjukan nilai Δ CFS negatif (-1 sampai -0.1 MPa) sekitar 60% gempa susulan terdistribusi pada area ini. Menurut Miao *et al.* (2012) pada wilyah zona mega trusht pemodelan distribusi *aftershocks* terhadap Δ CFS belum bisa menggambarkan hubungan yang baik.

Namun, distribusi gempa susulan masih konsisten berada pada wilayah perubahan Δ CFS positif untuk gempa-gempa pada zona *intraplate*. Seperti yang pernah ditulis oleh Toda *et al.* (2008), distribusi gempa susulan terhadap perubahan Δ CFS untuk gempa *intraplate* seperti yang diperlihatkan pada Gambar 3 untuk gempa *intraplate* Wenchuan tahun 2008 dengan kekuatan 7.9. Lebih dari 85% gempa susulan terdistribusi pada wilayah dengan perubahan Δ CFS positif dan membujur sepanjang patahan.



Gambar 3. Coulomb stress change gempa Wenchuan 12 Mei 2008 dan distribusi gempa susulannya (Miao et al., 2012).



KESIMPULAN

Dari analisis di atas dapat disimpulkan bahwa distribusi gempa susulan Aceh 26 Desember 2004 terhadap perubahan Δ CFS hanya 49.8% saja yang berada pada wilayah Δ CFS positif atau area peningkatan stress. Sedangkan pada area penurunan stress, Δ CFS negatif, distribusi gempa susulan mencapai 60%. Hal ini menunjukan bahwa pemodelan elastik setengah ruang (elastic half-space) untuk gempa zona interplate / mega thrust belum bisa menggambarkan hubungan yang baik. Namun, hubungan yang baik untuk perubahan nilai ΔCFS dan distribusi gempa susulan masih konsisten untuk gempa-gempa intraplate.

DAFTAR PUSTAKA

- Astra, IMKA. 2011. Coulomb Statik Stress Change Dalam Interaksi Gempabumi Doublets 5.8 Mw dan 5.9 Mw 23 Januari 2007 dan Gempabumi 7.0 Mw 16 Juni 2010 di Wilayah Papua. Jurnal Meteorologi Dan Geofisika 12 (1), 103-109.
- Chlieh, M. 2007. Tectonics Observatory at Caltech Slip History database: Sumatra (http://www.tectonics.caltech.edu/sliphistory/2004 Earthquake. Update 1. sumatra/sumatra.html).
- Deng, JS and LR Sykes. 1997. Evolution of the stress field in southern California and triggering of moderate-size earthquakes: a 200-year perspective. J. Geophys. Res., 102(B5): 9859-9886.
- Freed, A.M. 2005. Earthquake triggering by static, dynamic, and postseismic stress transfer. Annual Review of Earth and Planetary Sciences 33(1): 335-367.
- Harris, RA. Introduction to special section: Stress triggers, stress shadows, and implications for seismic hazard. J. Geophys. Res. 103(B10): 24347-24358.
- King, CPG., RS Stein and J Lin. 1994. Static Stress Change And The Triggering of Earthquakes. Bulletin Seismological Socoety America.
- USGS. Rectanguler USGS. 2013. Area Earthquake Search. (http://earthquake.usgs.gov/earthquakes/egarchives/epic/epic rect.php), diakses: 30 Oktober 2013.
- Shi, YL and JL Cao. 2010. Some aspects in static stress change calculation-case study on Wenchuan earthquake. Chinese J. Geophys. 53(1): 102-110.
- Stein, RS and M Lisowski.1983. The 1979 Homestead Valley earthquake sequence, California: control of aftershocks and postseismic deformation. J. Geophys. Res. 88(B8): 6477-6490.
- USGS. 2012. Source Parameter Search. USGS. (http://earthquake.usgs.gov/eartquakes/egarchives/sopar/), diakses: 29 September
- Toda, S, J Lin and M Meghraoui. 2008. 12 May 2008 M = 7.9 Wenchuan, China, earthquake calculated to increase failurestress and seismicity rate on three major fault systems. Geophys. Res. Lett. 35(17): L17305.
- Toda, S, RS Stein and K Richards-Dinger. 2005. Forecasting the evolution of seismicity in southern California: Animations built on earthquake stress transfer. J. Geophys. Res. 110(B5): B05S16.
- Parsons, T, RS Yeats, Y Yagi and A Hussain. 2006. Static stress change from the 8 October, 2005 M = 7.6 Kashmir Earthquake. Geophys. Res. Lett. 33: L06304.



- Wan, YG, ZL Wu and Zhou G W. "Stress triggering" between different rupture events in several earthquakes. Acta Seismologica Sinica 22(6): 568-576.
- Ziv, A, AM Rubin. 2000. Static stress transfer and earthquake triggering: No lower threshold in sight? J. Geophys. Res. 105(B6): 13631-13642.